

03;05.3;11

©1993

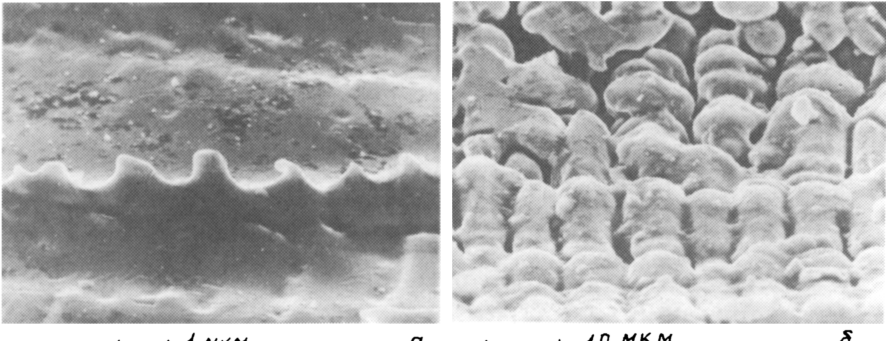
НЕУСТОЙЧИВОСТЬ ПОВЕРХНОСТИ РАСПЛАВА НЕРЖАВЕЮЩЕЙ СТАЛИ

В.В.Владимиров, В.Я.Порицкий, П.В.Порицкий

1. В работе исследовано возбуждение коротковолновых периодических структур на поверхности расплава нержавеющей стали (марка 1Х18Н9Т), полученного при электронной и ионной бомбардировках. Эта сталь (инкомель), содержащая в качестве основных примесей хром (18%) и никель (9%) при различном содержании углерода (в наших образцах 0.1%) используется при изготовлении первой стенки термоядерных реакторов-tokамаков. Локальные следы оплавления, обусловленные зажиганием дуг, и периодически расположенные кратеры на поверхности остывшего оплава первой стенки и лимитеров наблюдались в различных токамаках [1].

Ниже мы покажем, что возбуждение таких структур на поверхности расплава нержавеющей стали обусловлено апериодической нестабильностью фронта затвердевания в процессе остывания (после выключения мощности). Механизм неустойчивости связан с наличием указанных примесей и обусловлен концентрационным переохлаждением жидкой фазы (ЖФ) в процессе затвердевания [2,3]. Переохлаждение ЖФ вызвано явлением сегрегации примесей, когда в процессе затвердевания примеси вытесняются в ЖФ, а их пространственное распределение круто спадает к свободной поверхности расплава. Подробное исследование указанного выше механизма было проведено в работах [4,5] для случаев титановой и медной мишени, содержащих различные примеси.

2. Оплавление мишени из нержавеющей стали толщиной $d = 0.3$ см проводилось как электронным, так и ионным (H^+) пучком с одинаковой удельной мощностью $\sim 6\text{кВт}/\text{см}^2$. При плавлении электронным пучком мишень находилась на массивной стальной платформе и тыльная поверхность мишени не разогревалась (глубина проплавления $h \approx 0.05$ см). В случае ионного пучка мишень была теплоизолирована (подвешивалась на тонких вольфрамовых проволочках) и тыльная часть мишени была разогрета вплоть до конца процесса затвердевания ($t_d \approx 1700-1750$ К), при этом $h \approx 0.1$ см. При затвердевании расплава на его поверхности



Фрагменты панорамы затвердевшего расплава при оплавлении *a* — электронным пучком, *б* — ионным пучком.

наблюдались “замороженные” коротковолновые периодические структуры с длиной волны $\lambda = 4 \text{ мкм}$ при плавлении электронным пучком (рисунок, *a*) и $\lambda = 18 \text{ мкм}$ (рисунок, *a*) и $\lambda = 18 \text{ мкм}$ (рисунок, *б*) в случае ионного пучка, при этом во втором случае амплитуда структур заметно меньше. Указанные отличия основных характеристик структур связаны с различными условиями теплоотвода с тыльной стороны мишени, которые определяют величину скорости фронта затвердевания (v) в случае тонкого расплава ($d \gg h$), когда градиент температуры в ЖФ мал ввиду ее быстрого остывания [4,5]. Именно эта скорость является одной из основных величин, определяющих характеристики периодических структур на фронте затвердевания при зонной плавке [6,7]. Подчеркнем, что роль пучков сводится лишь к оплавлению поверхности мишней.

В случае тонкого расплава величина v определяется градиентом температуры в твердой фазе (g_s) [4,5]: $V = \frac{\kappa g_s}{L}$, где κ — коэффициент теплопроводности, L — удельная теплота плавления, $g_s = \frac{T_0 - T_d}{d - h}$, T_0 — температура межфазной границы. Оценим значение v , учитывая, что $\kappa = 0.35 \text{ Дж/см}\cdot\text{с} \cdot \text{К}$, $L = 1.9 \cdot 10^3 \text{ Дж/см}^3$, $T_0 = 1811 \text{ К}$. В случае *a* (электронный пучок, $T_d = 300 \text{ К}$) $v = 1.1 \text{ см/с}$, а в случае *б*

$$v = 0.06 - 0.1 \text{ см/с.}$$

Выражения для длины волны (λ_m) волн затвердевания, соответствующей максимальному инкременту неустойчивости (γ_m) и величины γ_m были получены [4,5] для случая бинарного расплава. При наличии нескольких примесей соот-

ветствующие выражения имеют вид

$$\lambda_m = 2\pi\sqrt{3} \left[\frac{\sigma}{K_B T_0 v \sum_i C_{0i} \frac{(1-K_i)^2}{K_i D_i}} \right]^{1/2}, \quad \gamma_m = \frac{4\pi}{3\lambda_m} v, \quad (1)$$

где K_B — константа Больцмана, σ — коэффициент поверхностного натяжения, C_{0i} — исходная концентрация примеси в мишени, K_i — коэффициент сегрегации, определяющий степень вытеснения примеси в ЖФ при затвердевании, D_i — коэффициент диффузии примеси. Полагая [8] $\sigma = 1.8 \cdot 10^3$ эрг/см², $D_i = 10^{-4}$ см²/с и значения $K_i = 0.95$ (хром), 0.8 (никель), 0.18 (углерод), получим, что в случае a $\lambda_m = 3.2$ мкм, $\gamma_m = 10^4$ с⁻¹, а в случае b $\lambda_m = 15$ мкм ($v = 0.06$ см/с), при этом γ_m более чем на порядок меньше, что и обусловливает малость амплитуды в этом случае.

Хорошее согласие рассчитанных и наблюдаемых значений периода структур позволяет нам считать, что механизм неустойчивости определен правильно. Нетрудно показать, что основной вклад в рассчитанное значение λ_m вносят примеси никеля и углерода ввиду малости значений K_i . При увеличении содержания углерода до 1.2% период структур должен уменьшиться втрое.

Работа поддерживалась фондом фундаментальных исследований ГКНТ Украины.

Список литературы

- [1] Hantzsche E. // Proc. of the XV Int. Conf. on phenomena in ionized gases. Invited papers. Minsk, 1981. Pt 3. P. 184–193.
- [2] Иванцов Г.П. // ДАН СССР. 1951. Т. 81. В. 2. С. 179–182.
- [3] Rutter J.W., Chalmers B. // Canad. J. Phys. 1953. V. 31. N 1. P. 15–39.
- [4] Владимиров В.В., Замков В.Н., Порицкий В.Я. и др. // ДАН СССР. 1990. Т. 315. В. 2. С. 378–382.
- [5] Vladimirov V.V., Gabovich M.D., Soloshenko I.A. et al. // J. Vac. Sci. & Technol. 1991. V. 9. N 5. P. 2588–2592.
- [6] Mullins W.W., Sekerka R.F. // J. Appl. Phys. 1963. V. 34. N 2. P. 323–329; 1964. V. 35. N 2. P. 444–451.
- [7] Воронков В.В. // ФТТ. 1964. Т. 6. N 10. С. 2984–2988.
- [8] Кристаллизация из расплавов. Справочник / Под ред. К. Хайна, Э. Бурига. М.: Металлургия, 1987. 319 с.

Институт физики
АН Украины
Киев

Поступило в Редакцию
23 сентября 1993 г.